



UNIVERSITÄTS-
BIBLIOTHEK
PADERBORN

Die Statik im Stahlbetonbau

Beyer, Kurt

Berlin [u.a.], 1956

Tabelle der Schnittkräfte des durchlaufenden Trägers über 2 und 3 Felder

[urn:nbn:de:hbz:466:1-74292](https://nbn-resolving.org/urn:nbn:de:hbz:466:1-74292)

Abb. 363d: Beiderseits eingespannte Stütze.

Nach Tabelle 31 wird für $M = -10,0$ mt, $l = 10,0$ m, $\xi = 0,8$

$$A = -B = +6 \cdot 10,0 \cdot 0,8 (1 - 0,8) \frac{1}{10,0} = 0,96 \text{ t.}$$

$$M_a = +10,0 [1 - 4 \cdot 0,8 + 3 \cdot 0,8^2] = -2,8 \text{ mt.}$$

$$M_b = +10,0 \cdot 0,8 (2 - 3 \cdot 0,8) = -3,2 \text{ mt.}$$

2. Träger über zwei Feldern. Allgemeine Anordnung nach Abb. 364. Hauptsystem: Zwei einfache Träger (I), (II). Statisch überzählige Größen: Einspannungsmomente $-M_a = X_1$, $-M_c = X_3$, Stützenmoment $-M_b = X_2$. Berechnung bei allgemeiner Anordnung nach Abschn. 26, bei feldweise konstantem Trägheitsmoment mit Tabelle 32, Teil A. Teil B enthält Angaben bei veränderlichem Trägheitsmoment.

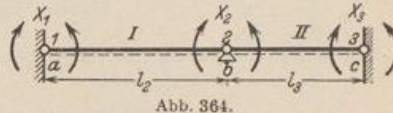


Abb. 364.

Tabelle 32. Träger über zwei Feldern.

A. Das Trägheitsmoment ist feldweise konstant.

Abkürzungen: 1) $\alpha = l_2/l_3$, 2) $\alpha' = l_2'/l_3'$, 3) $\varphi = 2(1 + \alpha')$,
4) $\psi = \frac{4 + 3\alpha'}{2}$, 5) $\eta = \frac{3 + 4\alpha'}{2}$.

Klammerwerte $[\omega_D' - \kappa_{k(k-1)} \omega_D]$ und $[\omega_D - \kappa_{k(k-1)} \omega_D']$ sind für $0,200 < \kappa < 0,380$ in Tabelle 34 Seite 410 angegeben.

Formeln zur Ermittlung der Festpunktabstände aus den Kennbezeichnungen:

$$a_{(k-1)k} = \frac{\kappa_{k(k-1)} l_k}{1 + \kappa_{k(k-1)}}, \quad a_{k(k-1)} = \frac{\kappa_{k(k-1)} l_k}{1 + \kappa_{k(k-1)}}.$$

Berechnung der Stützkräfte: vgl. Seite 396 und 424.

a) Anordnung Abb. 365.

$$-M_b = X_2$$

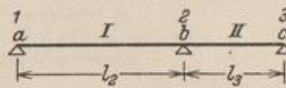


Abb. 365.

Kennbeziehungen:

$$\begin{aligned} \kappa_{a2} &= 0, & \kappa_{c2} &= 0, \\ \kappa_{2c} &= \frac{1}{\varphi}, & \kappa_{2a} &= \frac{\alpha'}{\varphi}. \end{aligned}$$

$$X_2 = \frac{1}{\varphi l_3'} 6 \delta_{20}.$$

Einflusslinien:

Bereich	I	II
φX_2	$l_2 \alpha' \omega_D$	$l_3 \omega_D'$

Schnittkräfte für feldweise Belastung:

Belastung			
X_2	$\frac{p l_3^2 \alpha'}{4 \varphi}$	$\frac{p l_3^2}{4 \varphi}$	$\frac{p l_3^2}{4 \varphi} (1 + \alpha'^2)$
I	max M	$\frac{p l_3^2}{2} \xi_0^2$	$\frac{p l_3^2}{2} \xi_0^2$
	ξ_0	$\frac{\psi}{2 \varphi}$	$\frac{1}{2} - \frac{1}{4 \alpha'^2} \frac{1 + \alpha'^2}{\varphi}$
II	max M	$\frac{p l_3^2}{2} \xi_0'^2$	$\frac{p l_3^2}{2} \xi_0'^2$
	ξ_0'	$\frac{\eta}{2 \varphi}$	$\frac{1}{2} - \frac{1}{4} \frac{1 + \alpha'^2}{\varphi}$

Überzählige Schnittkraft X_2 für besondere Belastungen:

Belastung		
X_2	$\frac{p l_2^3}{4} \frac{\alpha'}{\psi} [2(\beta^2 - \alpha^2) - (\beta^4 - \alpha^4)]$	$-\frac{1}{\psi} [\omega_M M_I \alpha' - \omega'_M M_{II}]$

Ungleichförmige Erwärmung $t_u - t_o = \Delta t$: $X_2 = \frac{3}{2} E J_o \frac{\alpha' \Delta t}{d} \frac{l_2 + l_3}{l_2 + l_3}$.

Stützensenkungen $\Delta_a, \Delta_b, \Delta_c$: $X_2 = \frac{3 E J_o}{l_2 + l_3} \left[\frac{\Delta_a}{l_2} - \Delta_b \left(\frac{1}{l_2} + \frac{1}{l_3} \right) + \frac{\Delta_c}{l_3} \right]$.

b) Anordnung Abb. 366.

$-M_a = X_1, \quad -M_b = X_2.$

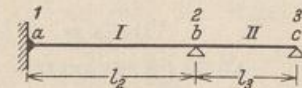


Abb. 366.

Kennbeziehungen:

$$\begin{aligned} \kappa_{12} &= \frac{1}{2}, & \kappa_{c2} &= 0, \\ \kappa_{2c} &= \frac{1}{\psi}, & \kappa_{21} &= \frac{\alpha'}{\psi}. \end{aligned}$$

Konjugierte Matrix der β_{ik} :

	δ_{10}	δ_{20}
$\frac{1}{3} l_2 \psi \cdot X_1$	φ/α'	-1
$\frac{1}{3} l_3 \psi \cdot X_2$	-1	2

Einflußlinien:

Bereich	I	II
$\psi \cdot X_1$	$\frac{l_2}{2} \varphi [\omega'_D - \kappa_{21} \omega_D]$	$-\frac{l_3}{2} \omega'_D$
$\psi \cdot X_2$	$l_2 \alpha' [\omega_D - \kappa_{12} \omega'_D]$	$l_3 \omega_D$

Schnittkräfte für feldweise Belastung:

Belastung			
X_1	$\frac{p l_2^3}{16} \frac{2 + \varphi}{\psi}$	$-\frac{p l_2^3}{8} \frac{1}{\psi}$	$\frac{p l_3^3}{16} \frac{\alpha^2 (2 + \varphi) - 2}{\psi}$
X_2	$\frac{p l_2^3}{8} \frac{\alpha'}{\psi}$	$\frac{p l_2^3}{4} \frac{1}{\psi}$	
I	max M	$\frac{p l_2^3}{8} \left(4 \xi_0'^2 - \frac{\alpha'}{\psi} \right)$	$\frac{p l_3^3}{8} \left(4 \xi_0^2 - \frac{1}{\alpha^2} \frac{2 + \alpha' \alpha^2}{\psi} \right)$
	ξ_0	$\frac{3 \varphi}{8 \psi}$	$\frac{1}{2} + \frac{3 - 2 \alpha^2}{8 \psi \alpha^2}$
II	max M	$\frac{p l_2^3}{2} \xi_0'^2$	$\frac{p l_3^3}{2} \xi_0^2$
	ξ_0'	$\frac{3 \varphi}{8 \psi}$	$\frac{1}{2} - \frac{1}{8} \frac{2 + \alpha' \alpha^2}{\psi}$